

## محیط‌های رسوی و چینه‌نگاری سکانسی سازند سرخ‌شیل (تریاس زیرین) در بلوک طبس

مصطفی قماشی و یعقوب لاسمی: دانشگاه تربیت معلم تهران

### چکیده

سازند سرخ‌شیل (تریاس زیرین) در بخش‌هایی از بلوک طبس رخنمون دارد. این سازند از آهک، دولومیت، ماسه سنگ، شیل و گچ تشکیل شده است. مرز پایینی آن با سنگ‌های پرمین و مرز بالایی آن با دولومیت‌های سازند شتری، ناپیوستگی فرسایشی دارد. جهت بررسی رخسارهای رسوی سازند سرخ‌شیل، برش‌های چینه‌نگاری گارسرخ (جنوب خاور طبس)، گدارگچال (جنوب باختر طبس) و اسلام‌آباد (جنوب خاور زرند) بررسی شده‌اند. پژوهش‌های صحرایی و آزمایشگاهی نشان داده است که این سازند از رخسارهای کربناته (محیط‌های تالاب پشت سد تا پهنه جزر و مدی)، سبلیسی آواری (محیط‌های تالاب پشت سد، پهنه جزر و مدی و دشت ساحلی) و تبخیری (محیط پلایا) تشکیل شده است. رخسارهای طوفانی کربناته و آواری نیز شناسایی شده‌اند. رخسارهای سازند سرخ‌شیل در یک رمپ کربناته‌تخربی هموکلینال، همسان با خلیج فارس امروزی، تشکیل شده‌اند. توالی سنگ‌های سازند سرخ‌شیل در بلوک طبس، نشان‌دهنده یک سکانس رسوی (چرخه رده سوم) است که با ناپیوستگی‌های فرسایشی نوع ۱ محدود می‌شود. دریایی‌تر شدن رخسارهای به سوی شمال، روند رو به شمال جریان‌های قدیمی و ضخامت زیاد سنگ‌های تریاس زیرین نشان می‌دهد که سازند سرخ‌شیل، در یک حوضه کافت عقیم در امتداد گسل‌های کلمرد کوهبنان و ناییند نهشته شده است.

### مقدمه

سازند سرخ‌شیل (تریاس زیرین)، به دلیل ویژگی‌های سنگ شناسی و رنگ، از سازندهای بسیار مشخص در بلوک طبس (خاور ایران مرکزی) است. این سازند از آهک، دولومیت، گچ، ماسه سنگ و شیل تشکیل شده است (شکل ۱، A). مرز پایینی آن با سنگ‌های پرمین و مرز بالایی آن با سازند شتری، ناپیوسته است و با افق لاتریتی مشخص می‌شود. سازند سرخ‌شیل را نخستین بار گانسر<sup>[۱۸]</sup> شناسایی کرد. وی با توجه به فسیل پسودماننیس<sup>۱</sup>، سن تریاس زیرین را برای این سازند پیشنهاد کرد. گلاس<sup>[۱۹]</sup>، به دلیل وجود صدف کرم‌های سرپولید، سازند سرخ‌شیل را با بخش زیرین سازند الیکا در البرز معادل دانسته است. اشتولکلین و همکاران<sup>[۴۱]</sup>، برش نمونه سازند یاد شده را در محل گدار سرخ (خاور روستای اصفهک، جنوب خاور طبس) معرفی کردند.

۱-Pseudomonotis

برونیمن و همکاران [۱۰]، آقانباتی [۸]، شهرابی [۱] و سید امامی [۳۸] نیز در بررسی‌های خود، سن اسکیتین را برای این سازند در نظر گرفته‌اند.

سازند سرخشیل تاکنون از دیدگاه چینه‌نگاری سنگی و فسیل‌شناسی بررسی شده است (برای نمونه، گانسر [۱۸]، گلاس [۱۹]، اشتولکلین و همکاران [۴۱]، برونيمن و همکاران [۱۰]، آقانباتی [۸]، و سید امامی [۳۸]). هدف از انجام این پژوهش، بررسی سنگ‌های سازند سرخشیل در بلوك طبس برای تشخیص رخسارها، محیط‌های رسوی و چینه‌نگاری سکانسی آن‌ها است.

در این بررسی، سازند سرخشیل در سه برش گدار سرخ (حوالی برش نمونه)، گدار گچال و اسلام‌آباد (شکل ۱، B) بررسی شده است. برش گدار سرخ، نزدیک به ۷۰ متر ضخامت دارد و شامل سنگ‌های آهکی با مقدار کمی شیل است. برش گدار گچال (حدود ۴۱ متر) از تناوب آهک‌های دولومیتی شده و شیل و همچنین مقداری ماسه سنگ تشکیل شده است. برش اسلام‌آباد نیز نزدیک به ۱۵۹ متر ضخامت دارد و دارای آهک‌های دولومیتی (در تناوب با ماسه سنگ)، ژیپس و مقداری شیل است.

### روش بررسی

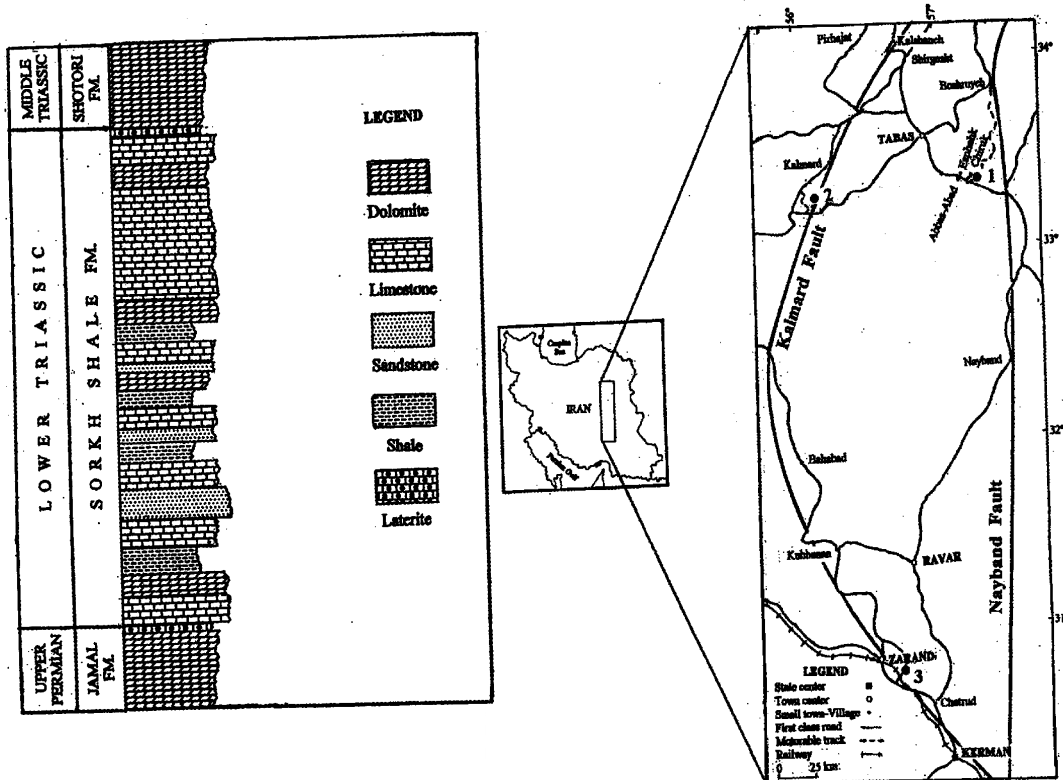
برای تشخیص رخسارها و تغییرات جانبی و عمودی آن‌ها، بررسی‌های صحرایی و آزمایشگاهی صورت گرفته‌اند. نامگذاری سنگ‌های کربناته به روش دانهام [۱۴] انجام شده اما حد ۶۰ میکرون برای تدقیک گل از دانه به کار رفته است. ماسه سنگ‌ها نیز به روش پتی جان و همکاران [۳۲] نامگذاری شده‌اند. برای تشخیص رخسارها و محیط‌های رسوی و همچنین ارایه مدل رسوی، تلفیقی از روش‌های لاسمی و کاروزی [۲۶]، فلوگل [۱۷] و کاروزی [۱۲] به کار گرفته شده است. چینه‌نگاری سکانسی سازند سرخشیل با به کارگیری اصول چینه‌نگاری سکانسی (برای نمونه، ویل و همکاران [۴۴]، [۴۵]، حق و همکاران [۲۰]، سارگ [۳۶]، ون و گونر و همکاران [۴۶]، [۴۷]، ایمری و مایرز [۱۶]، میال [۲۸]، [۲۹] و لاسمی [۴]) انجام شده است.

### رخسارهای کربناته

رخسارهای گوناگون کربناته، سیلیسی آواری و تبخیری در سازند سرخشیل تشخیص داده شده‌اند. این رخسارهای بر پایه ویژگی‌های صحرایی و میکروسکوپی شناسایی شده‌اند.

### رخسارهای کربناته

رخسارهای کربناته شامل سه رخساره شرایط عادی A، B و C و یک رخساره طوفانی وابسته به کمربندهای رخسارهای تالاب پشت سد (A)، بین جزر و مد (B) و بالای مد (C) هستند. بین لایه‌های سیلیسی



شکل ۱ - A - ستون چینه‌نگاری عمومی سازند سرخشیل در شمال بلوک طبس B- موقعیت جغرافیایی، راه‌های ارتباطی و محل پرش‌های چینه‌نگاری منطقه چینه‌نگاری شده (۱- پرش گدار سرخ، ۲- پرش گدار گچال، ۳- پرش اسلام‌آباد) در این شکل، گسل‌های محدود کننده بلوک طبس (گسل‌های کلمروود و نایبند) نیز نشان داده شده‌اند

آواری در این رخسار‌ها دیده شده‌اند. برخی از رخسار‌های کربناتی، تحت تأثیر فرآیند دولومیتی شدن قرار گرفته‌اند. رخسار‌های یاد شده عبارتند از:

#### Roxas A

این رخساره دارای زیر رخسارهای A1 (مدادستون آهکی با آشفتگی زیستی، شکل ۲، ۱)، A2 (وکستون بیوکلاستی، شکل ۲، ۲) و A3 (پکستون بیوکلاستی ماسه دار، شکل ۲، ۳) است. بیوکلاست‌ها شامل دو کفه‌ای از جنس کلاریا<sup>۱</sup>، اسپایروبیس<sup>۲</sup> و خرده‌های نامشخص هستند.

#### تفسیر

زیر رخسارهای A1، A2 و A3 به ترتیب از سمت دریا به طرف خشکی، در محیط نسبتاً آرام تالاب نیمه بست<sup>۳</sup> پشت سد و در بخش زیر جزر<sup>۴</sup> نهشته شده‌اند. نبود آلومکم، آشفتگی زیستی زیاد و رنگ خاکستری تیره در زیر رخساره A1، بیان‌گر بخش عمیق تالاب پشت سد است. وجود دانه‌های اسکلتی و ماسه در زیر رخسارهای A2 و A3، نشان می‌دهد که این زیر رخسار‌ها در شرایط پر انرژی‌تر نهشته شده‌اند. زیر رخسارهای A2 و

<sup>۱</sup>-Claraia

<sup>۲</sup>-Spirobis

<sup>۳</sup>-Semirestricted lagoon

<sup>۴</sup>-Subtidal

A3 در توالی رسوی، غالباً در پایین زیر رخسارهای پهنه جزر و مدي قرار می‌گیرند؛ بنا بر این محیط تشکیل آن‌ها نیز زیرجزر تفسیر می‌شود.

وجود قطعات پراکنده‌ای از خارپستان در رخساره A و همچنین الیت در رخساره طوفانی کربناته، دلالت بر تشکیل سد کربناته در بخش شمالی حوضه دارند.

### Rخساره B

رخساره B شامل زیر رخسارهای B1 (مدستون آهکی لامینه دار قرمز رنگ، شکل ۲، D)، B2 (گرینستون پلوبئیدی با فابریک چشم پرنده‌ای<sup>۱</sup>، شکل ۲، E)، B3 (وکستون تا پکستون پلوبئیدی/پلوبئیدی بیوکلاست یا اینتر اکلاستدار با فابریک چشم پرنده‌ای (شکل ۲، F)، B4 (باندستون استروماتولیتی لامینه‌دار، شکل ۳، A)، B5 (دولومدستون با لایه‌بندی عدسی شکل ۲، شکل ۳، B و C) و B6 (وکستون تا پکستون بیوکلاستی، شکل ۳، D تا F) است. بیوکلاست‌ها از انواع دوکفه‌ای، شکم‌پا و استراکد هستند.

### تفسیر

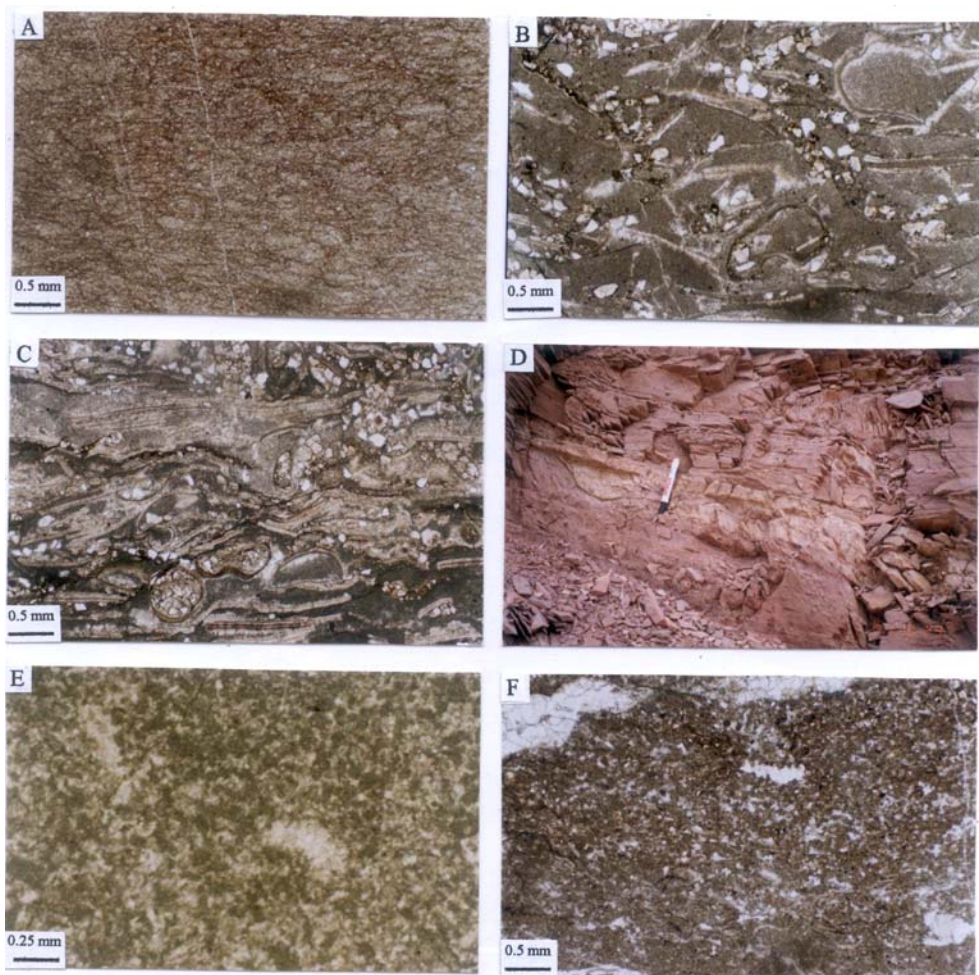
زیر رخسارهای B1 تا B6 در محیط بین جزر و مد تشکیل شده‌اند. رنگ قرمز زیر رخساره B1، نشان‌دهنده شرایط اکسیدان است. فابریک لامینه‌ای، به دلیل فقدان موجودات پرسلولی حفظ شده است. این زیر رخساره در بخش بین جزر و مدي نهشته شده است. وجود سیمان و لایه‌بندی متوسط تا ضخیم در زیر رخساره B2، حاکی از انرژی نیرومند در زمان نهشته شدن است. نوع الوکم‌ها، فابریک‌های دانه پشتیبان<sup>۲</sup> و چشم پرنده‌ای، بیان‌گر بخش تحتانی زیرمحیط بین جزر و مدي پایینی<sup>۳</sup> هستند.

در زیر رخساره B3، فابریک‌های گل پشتیبان<sup>۴</sup> و چشم پرنده‌ای، نشان‌دهنده بخش فوقانی زیرمحیط بین جزر و مدي پایینی<sup>۵</sup> هستند. زیر رخساره B4، به گمان قوی در زیر محیط بین جزر و مدي بالایی<sup>۶</sup> نهشته شده است. در خلیج فارس امروزی، استروماتولیت‌ها در زیر محیط بین جزر و مدي بالایی حفظ می‌شوند (پورسر [۳۳]). زیر رخساره B5، نیز به دلیل داشتن لایه‌بندی عدسی شکل و قرار گیری در پایین زیر رخسارهای بالای مد، به احتمال زیاد در چنین زیر محیطی تشکیل شده است. وجود دو کفه‌ای (با دیواره کلستیتی شفاف)، شکم پا، استراکد و گل آهکی فراوان در زیر رخساره B6، به گمان قوی، نشان‌گر شرایط محدود و آرام در حوضچه‌های<sup>۷</sup> محیط بین جزر و مد است.

### Rخساره C

این رخساره در برگیرنده دولومدستون لامینه‌دار با فابریک چشم پرنده‌ای/ قالب‌های دروغین ژیپس و انیدریت (شکل ۴، A و B) است.

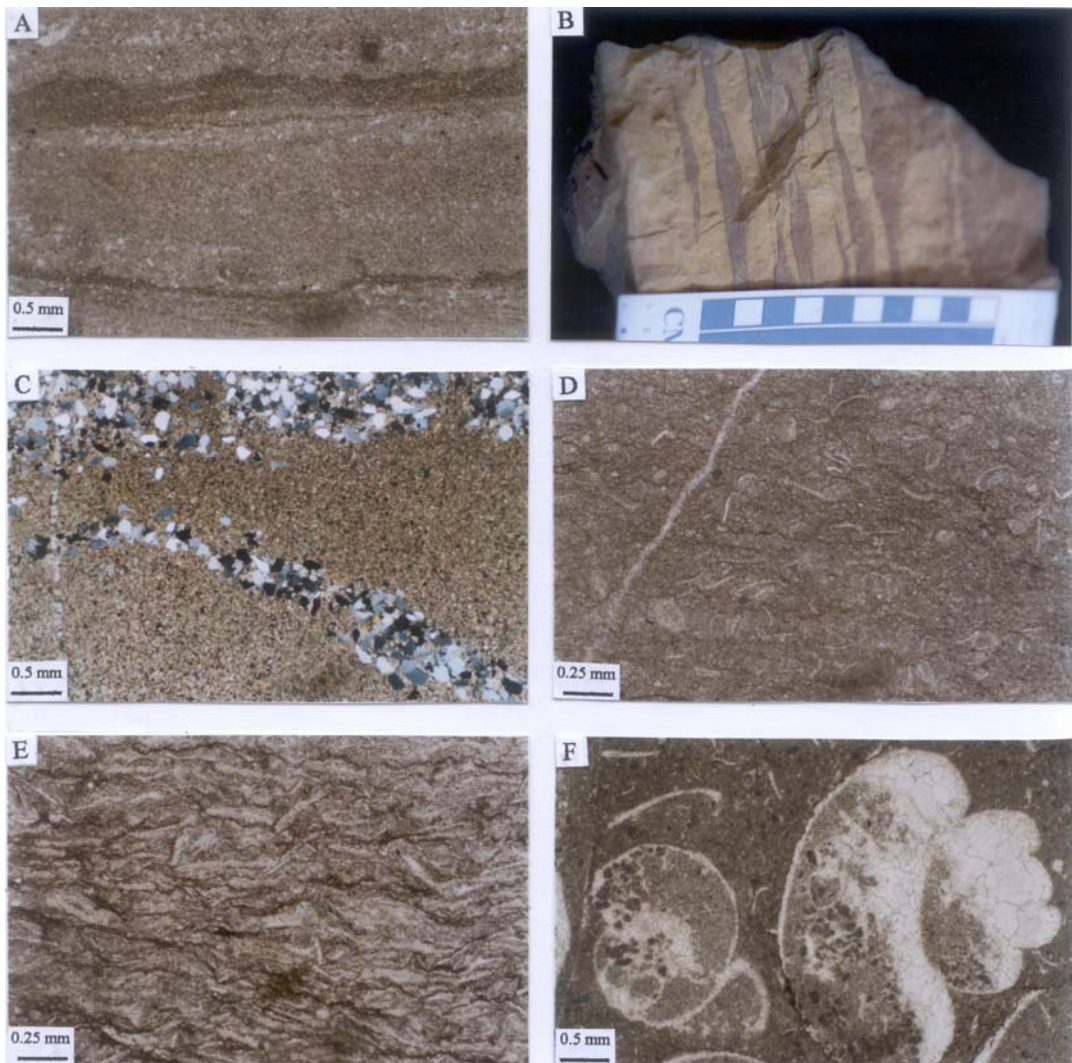
<sup>۱</sup>-Birdseyes fabric      <sup>۲</sup>-Lenticular bedding      <sup>۳</sup>-Grain supported      <sup>۴</sup>-Lower lower intertidal  
<sup>۵</sup>-Mud supported      <sup>۶</sup>-Upper lower intertidal      <sup>۷</sup>-Upper intertidal      <sup>۸</sup>-Ponds



شکل ۲- A- مستون آهکی با آشفتگی زیستی (زیر رخساره A1) (نمونه از برش گدار سرخ نور طبیعی) B- وکستون بیوکلاستی (زیر رخساره A2) بیوکلاست‌ها از جنس کلاریا' با دیواره کلسیتی و اسپیروبیس' (آلوم کفرعی) هستند. (نمونه از برش گدار گچال، نور طبیعی) C- پکستون بیوکلاستی ماسه دل (زیر رخساره A3) آلوم‌ها شامل کلاریا و اسپیروبیس (برش‌های طولی و عرضی، بعضًا دارای فابریک ژنوپیتال) هستند. بلورهای اتومورفولوژیت نیز در اینجا دیده می‌شوند. (نمونه از برش گدار گچال، نور طبیعی) D- رخنمونی از مستون آهکی لامیتدار قرمز رنگ (زیر رخساره B1) در بین این رخنمون، لایه‌ای از رخساره طوفانی کربناته با سطح زیرین ناگهانی و فرسایش نیز دیده می‌شود. (در محل مقیاس) (نمونه از برش گدار گچال) E- گرینستون پلوئیدی با فابریک چشمپرنده‌ای (زیر رخساره B2) (نمونه از برش اسلام‌آباد، نور طبیعی) F- پکستون پلوئیدی بیوکلاستدار با فابریک چشم پرنده‌ای (زیر رخساره B3) بیوکلاست‌ها استراکتدند. فابریک‌های چشم پرنده‌ای توسط کلسیت اسپاری پر شده‌اند. (نمونه از برش گدار سرخ، نور طبیعی)

#### تفسیر

دولومیت، قالب‌های دروغین ژیپس و انیدریت، فابریک چشم پرنده‌ای فراوان و لامینه‌های نازک تا ضخیم، نشان‌دهنده محیط بالای مد (سبخا) در رخساره C هستند (برای نمونه، پورسر [۳۳]، شین [۳۹]، لاسمی [۲۵]). دولومیت‌های این رخساره از نوع دیازنتیکی اولیه<sup>۱</sup> بوده (تاکر [۴۲]) و مشابه آن‌ها از سواحل جنوبی خلیج فارس امروزی گزارش شده است (برای نمونه، مکنتری و همکاران [۲۷]، پترسون و کینزمن [۳۱]).



شکل ۳-۱- A- باندستون استروماتولیتی لامینه‌دار (زیر رخساره B4) در این تصویر، کلسيت اسپاری فابریک‌های چشم پرندۀ‌ای ریز را پر کرده است. نمونه از برش گدار سرخ، نور طبیعی) B- نمونه دستی از دولومدستون با لایه‌بندی عدسی شکل (زیر رخساره B5) در این تصویر هر واحد از خطکش مقایس برایر یک سانتی‌متر است. (نمونه از برش گدار گچال) C- تصویر بخشی از دولومدستون با لایه‌بندی عدسی شکل (زیر رخساره B5) لایه‌بندی‌های عدسی شکل از نظر سنگ‌شناسی، کوارتز آرنیت هستند. مقطع توسط آلیزارین قرمز رنگ آمیزی شده است. (نمونه از برش گدار گچال، نور پلاریزه) D- وکستون بیوکلاستی (زیر رخساره B6) بیوکلاست‌ها استراکتدند (نمونه از برش گدار سرخ، نور طبیعی) E- پکستون بیوکلاستی (زیر رخساره B6) بیوکلاست‌ها شامل استراکدنند (نمونه از برش گدار سرخ، نور طبیعی) F- تصویر دیگری از پکستون بیوکلاستی (زیر رخساره B6) بیوکلاست‌ها از شکمپایان (با برش‌های طولی، عرضی و فابریک ژئوپتال) هستند (نمونه از برش گدار گچال، نور طبیعی)

#### Rxساره طوفانی

این رخساره شامل گرینستون اینتر اکلاستی/اثیدی اینتر اکلاستی/بیوکلاستی اثیدی/بیوکلاستی (شکل ۴، C تا F و شکل ۵، A) است. بیوکلاست‌ها شامل دوکفه‌ای، اسپایروبویس، شکم پا و استراکد هستند. رخساره طوفانی کربناته در برش اسلام‌آباد شناسایی نشد.

### تفسیر

در این رخساره، ویژگی‌هایی نظیر سطح زیرین ناگهانی و فرسایشی (برای نمونه، شکل ۲، D و شکل ۵، B) و لایه‌بندی رو به بالا ریز شونده (برای نمونه، شکل ۴، C) بیان گر نهشته‌های طوفانی هستند (برای نمونه، ایگنر [۹]، طهماسبی و همکاران [۲]، لاسمی و جهانی [۷]، لاسمی و امین رسولی [۵]).

## رخساره‌های سیلیسی آواری

چهار رخساره M، N، O و P مربوط به شرایط عادی و یک رخساره طوفانی به شرح زیر شناسایی شده‌اند. این رخساره‌ها متعلق به کمربنده‌های رخساره ای تالاب پشت سد (M)، بین جزروم (N)، بالای مد (O) و دشت ساحلی (P) هستند.

### Rخساره M

این رخساره از شیل سیز رنگ تشکیل شده است.

### تفسیر

شیل سیز رنگ رخساره M در محیط احیایی با انرژی پایین نهشته شده است. محیط تشکیل این رخساره، به گمان قوی بخش عمیق تالاب پشت سد (در تناوب با زیر رخساره کربناته A1) بوده است.

### Rخساره N

Rخساره N شامل کوارتز آرنیت است و در آن کوارتز‌ها دانه‌بندی با یمدا<sup>1</sup> دارند (شکل ۵، C و D). در این رخساره، شواهدی چون فراوانی کوارتز، سیمان، لایه‌بندی متوسط تا ضخیم و ساختمان‌های رسوی از نوع لایه‌بندی مورب تابولار، نشان‌دهنده محیط پرانرژی و کم عمق هستند.

### تفسیر

به دلیل وجود دانه‌بندی با یمدا (برای نمونه، کلاین [۲۴]) و بین لایه‌ای بودن Rخساره یاد شده با زیر رخساره‌های کربناته بین جزر و مدی B2 و B5، محیط تشکیل آن بخش تحتانی زیرمحیط بین جزر و مدی پایینی تفسیر شده است.

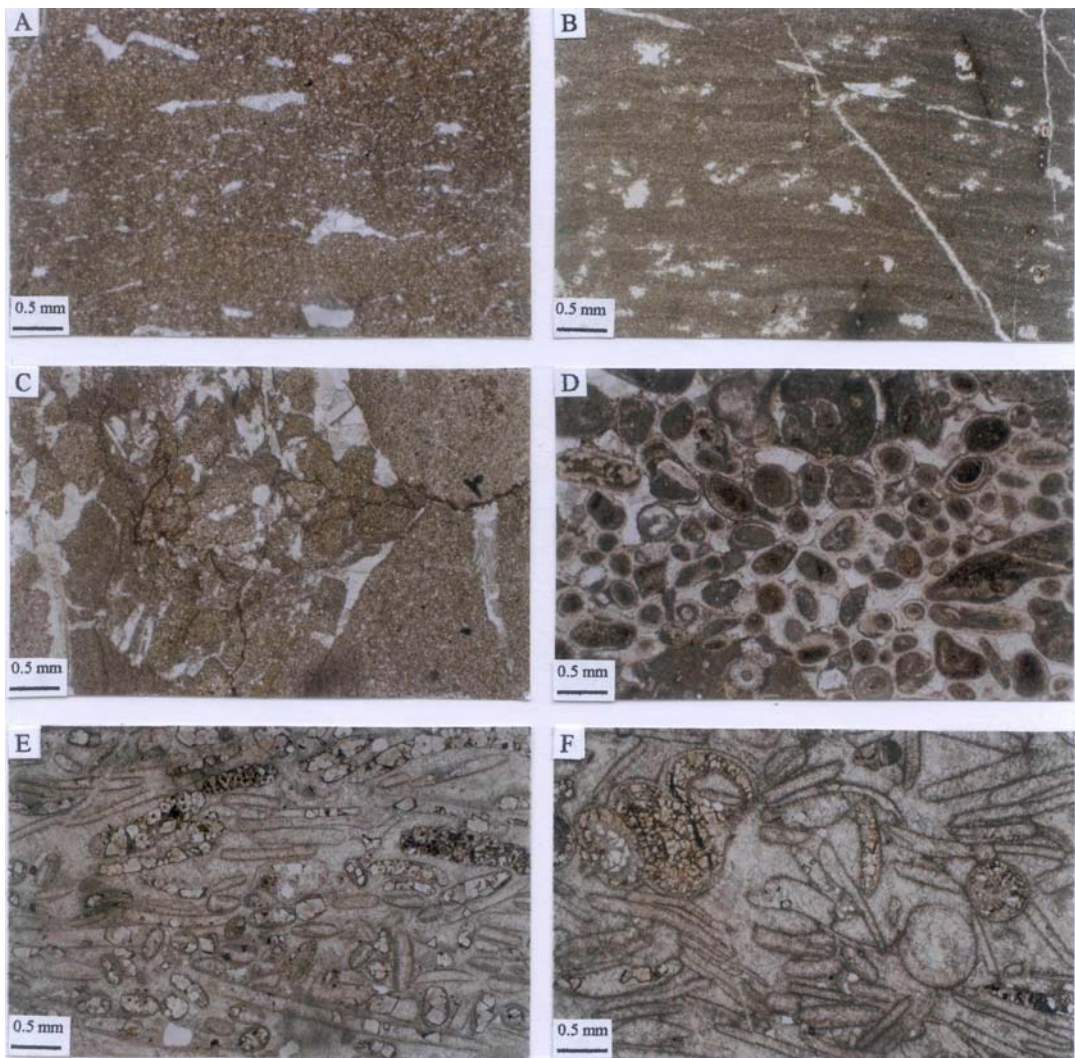
### Rخساره O

در Rخساره یادشده، زیر رخساره‌های O1 (کوارتز وک، شکل ۵، E) و O2 (شیل قرمزنگ) شناسایی شده‌اند.

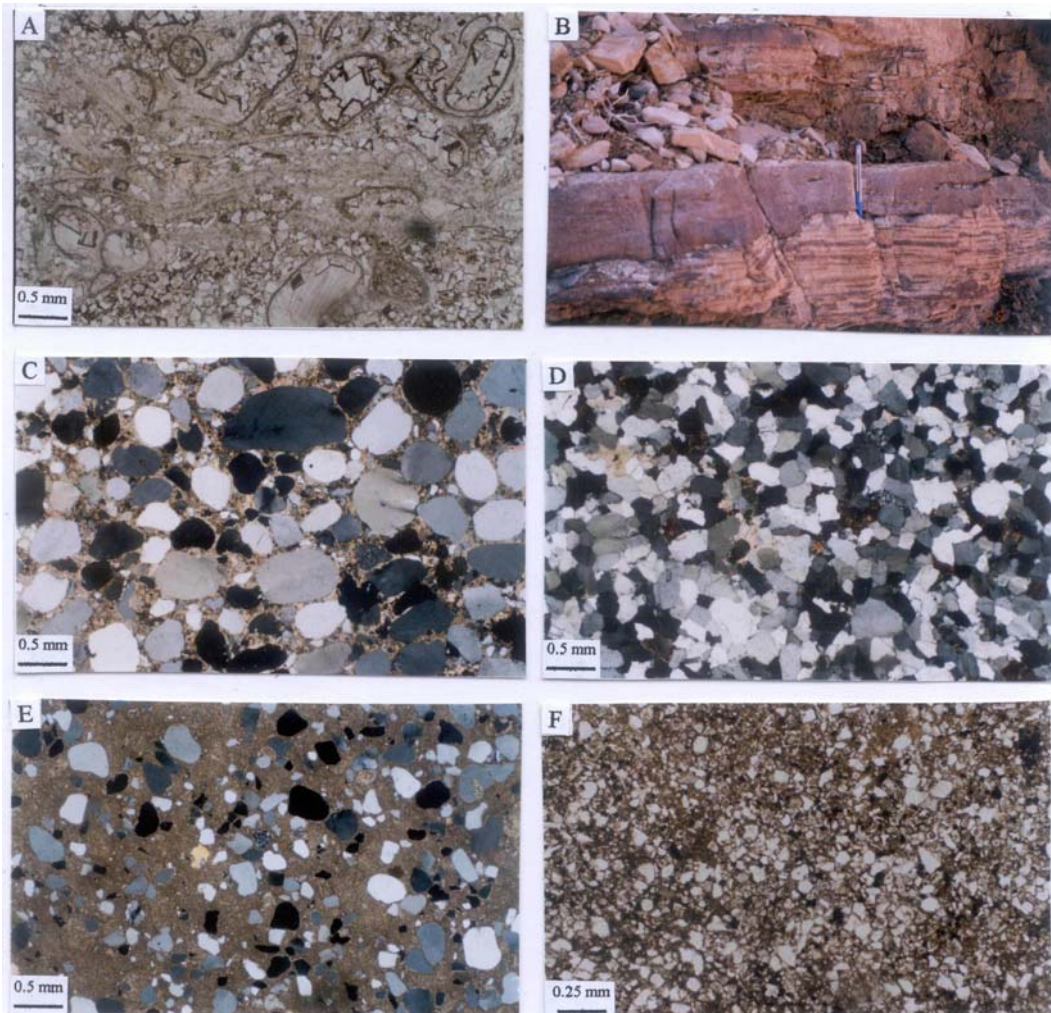
### تفسیر

Zیر رخساره O1 به دلیل وجود ماتریکس فراوان و رنگ قرمز در محیط کم انرژی و اکسیدان تشکیل شده

<sup>1</sup>-Bimodal



شکل ۴- A- دولومدستون با فایبریک چشم پرنده‌ای مربوط به رخساره C ، مقطع توسط الیزارین قرمزنگ‌آمیزی شده است (نمونه برش گدار سرخ) B- دولومدستون لامینه‌دار با فایبریک چشم پرنده‌ای و قالب‌های دروغین ژیپس و انیدریت در رخساره C ، مقطع توسط الیزارین قرمزنگ‌آمیزی شده است (نمونه از برش اسلام آباد) C- گرینستون اینترکلاستی از رخساره طوفانی کربناته، در این تصویر، اینترکلاست هامیکریتی بوده‌اند و فایبریک سیمان از نوع هم بعد است. بالای مقطع به سمت چپ عکس است بنابراین ساختمن رسوی از نوع لایه‌بندی تدریجی نیز در اینجا مشاهده می‌گردد (نمونه از برش گدار سرخ) D- گرینستون الیدی اینترکلاستی مربوط به رخساره طوفانی کربناته. الیدها دارای فایبریک‌های شعاعی و متعددالمرکز هستند. فایبریک سیمان نیز غالباً از نوع هم بعد است (نمونه از برش گدار سرخ) E- گرینستون بیوکلاستی الیدی از رخساره طوفانی کربناته. الیدها دارای فایبریک متعددالمرکز بوده و دوکفه‌ای‌ها نیز توسط کلسیت اسپاری پر شده‌اند. فایبریک‌های سیمان از نوع دروزی موزائیکی و هم قعد هستند بلورهای اتومورف دولومیت نیز به وضوح دیده می‌شوند. برخی از آنها حالت زونه مانند نیز دارند (نمونه از برش گدار گچال) F- گرینستون بیوکلاستی در رخساره طوفانی کربناته. بیوکلاست‌ها شامل دوکفه‌ای و شکم پایا دیواره اسپاریتی هستند. فایبریک‌های سیمان از نوع هم بعد و دروزی موزائیکی‌اند جانشینی بلورهای اتومورف دولومیت در برخی از آنکه دیده می‌شوند (نمونه از برش گدار گچال)



شکل ۵- A- تصویر دیگری از گرینستون بیوکلاستی (به رخساره طوفانی کربناته). الکم‌های تشکیل دهنده *Claraia* و *Spirobis* هستند. نمونه کوارتز‌های آواری و بلورهای اتومورف دولومیت نیز دیده می‌شوند (نمونه از پرش گدار گچال، نور طبیعی) B- نمونه‌ای از رخنمون رخساره طوفانی کربناته که دارای سطح زیرین ناگهانی و فرسایشی است (پرش گدار گچال) C- کوارتز‌های (رخساره N) در این تصویر، کوارتز‌های بايدال در زمینه‌ای از سیمان کلسيتي دیده می‌شوند (نمونه از پرش گدار گچال، نور پلاريزه) D- تصویر دیگری از کوارتز آرنیت (رخساره N) کوارتز‌ها به فرم بايدال بوده و تلفیقی از سیمان‌های سیلیسی، کلسيتي و دولومیتی در زمینه مشاهده می‌شود (نمونه از پرش گدار گچال، نور پلاريزه) E- کوارتز وک (زیر رخساره O1) کوارتز‌ها به فرم بايدال هستند (نمونه از اسلام آباد، نور پلاريزه) F- لیتیک گریوک (زیر رخساره P1) در این تصویر، لیتوکلاست‌ها از خرد سنگ‌های آهکی بوده‌اند که توسط بلورهای اتومورف دولومیت، جاتشین شده‌اند (نمونه از پرش گدار گچال، نور پلاريزه)

است. با زیر رخساره O2، به صورت بین لایه‌ای بوده و در توالی عمودی با زیر رخسارهای کربناته B5، B3 و رخساره C دیده شده است. از طرفی دارای دانه‌بندی بايدال (برای نمونه، کلین [۲۴]) است. بنا بر این، محیط رسوبی آن بالای مد تقسیر می‌شود. شیل‌های قرمز رنگ زیر رخساره O2، در محیط اکسیدان با انرژی پایین

نهشته شده‌اند. به واسطه رنگ قرمز، ریز بودن اندازه ذرات و مرز تدریجی با زیر رخسارهای بین جزر و مدبی کربناته، این زیر رخساره نیز در محیط بالای مد بر جای گذاشته شده است.

### Rxساره P

این رخساره در برگیرنده زیر رخسارهای P1(لیتیک گریوک، شکل ۵، F) و P2(کلکلیتیت، شکل ۶، A) است.

#### تفسیر

Rxساره P، به دلیل نارس بودن رسیدگی کانی‌شناسی و رنگ قرمز، به احتمال زیاد، در دشت ساحلی (محیط فلورویال) تشکیل شده است. در این Rxساره، به گمان قوی، شواهد محیط فلورویال در اثر فرسایش از بین رفته‌اند.

### Rxساره طوفانی

این رخساره شامل کوارتز آرنیت است و فقط در برش اسلام‌آباد شناسایی شد.

#### تفسیر

سطح زیرین ناگهانی و فرسایشی همراه با چینه بندی مورب پیشتهای<sup>۱</sup> (شکل ۶، B) از خصوصیات بارز این Rxساره هستند(برای نمونه، دات و بارجس [۱۳]، ایگنر [۹]، طهماسبی و همکاران [۲]، لاسمی و جهانی [۷]، لاسمی و امین رسولی [۵]). رسیدگی کانی‌شناسی و قرارگیری در بین زیر رخسارهای پهنه جزر و مدبی (زیر Rxسارهای B2 و O2)، وابستگی آن را به محیط فوق نشان می‌دهد.

### Rxساره تبخیری

علاوه بر Rxسارهای کربناته و سیلیسی آواری، یک Rxساره تبخیری (Q) نیز در برش اسلام‌آباد شناسایی شده است. این Rxساره شامل زیر Rxسارهای Q1 (مدستون آهکی لامینه‌دار، شکل ۶، C)، Q2 (ژیپس توده‌ای) و Q3 (ژیپس لامینه‌دار، شکل ۶، D) است.

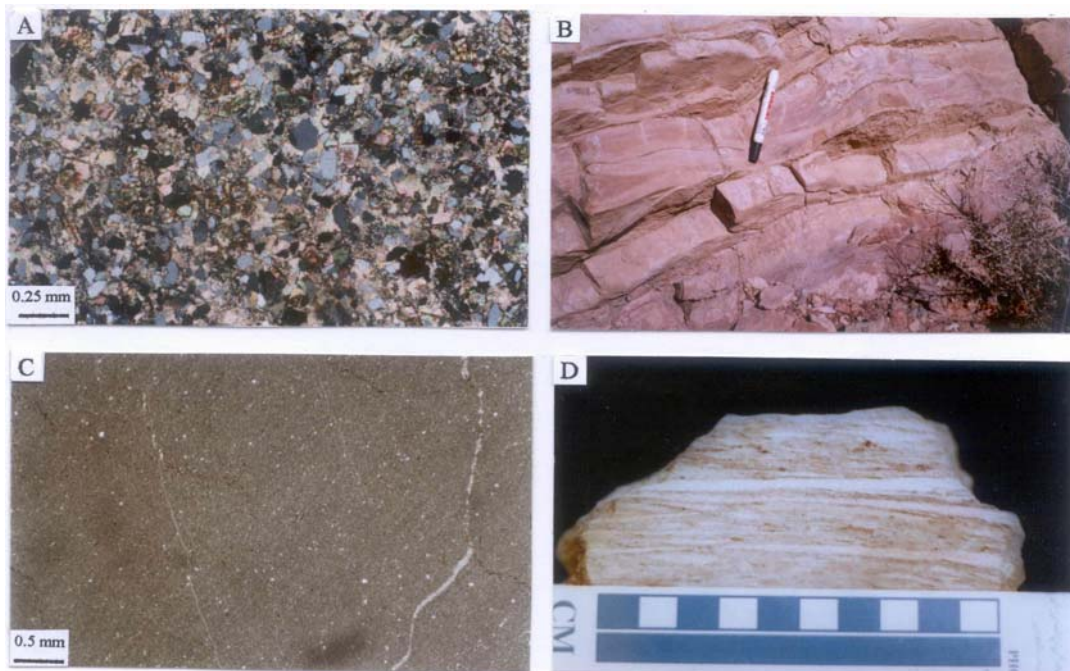
#### تفسیر

Rxساره تبخیری، به دلیل نداشتن شواهد محیط دریابی و جایگیری آن در بخش زیرین سازند سرخشیل (برش اسلام‌آباد)، به گمان قوی، در محیط قاره‌ای (پلایا) نهشته شده است.

### مدل رسوبی

با توجه به نتایج پژوهش‌های صحرایی و آزمایشگاهی، قانون والتر (والتر، ۱۸۹۴ در میدلتون [۳۰])، تغییرات عمودی Rxساره‌ها (برای نمونه، شکل ۷) و مقایسه Rxساره‌ها با محیط‌های امروزی و قدیم (برای نمونه،

<sup>۱</sup>-Hummocky cross stratification



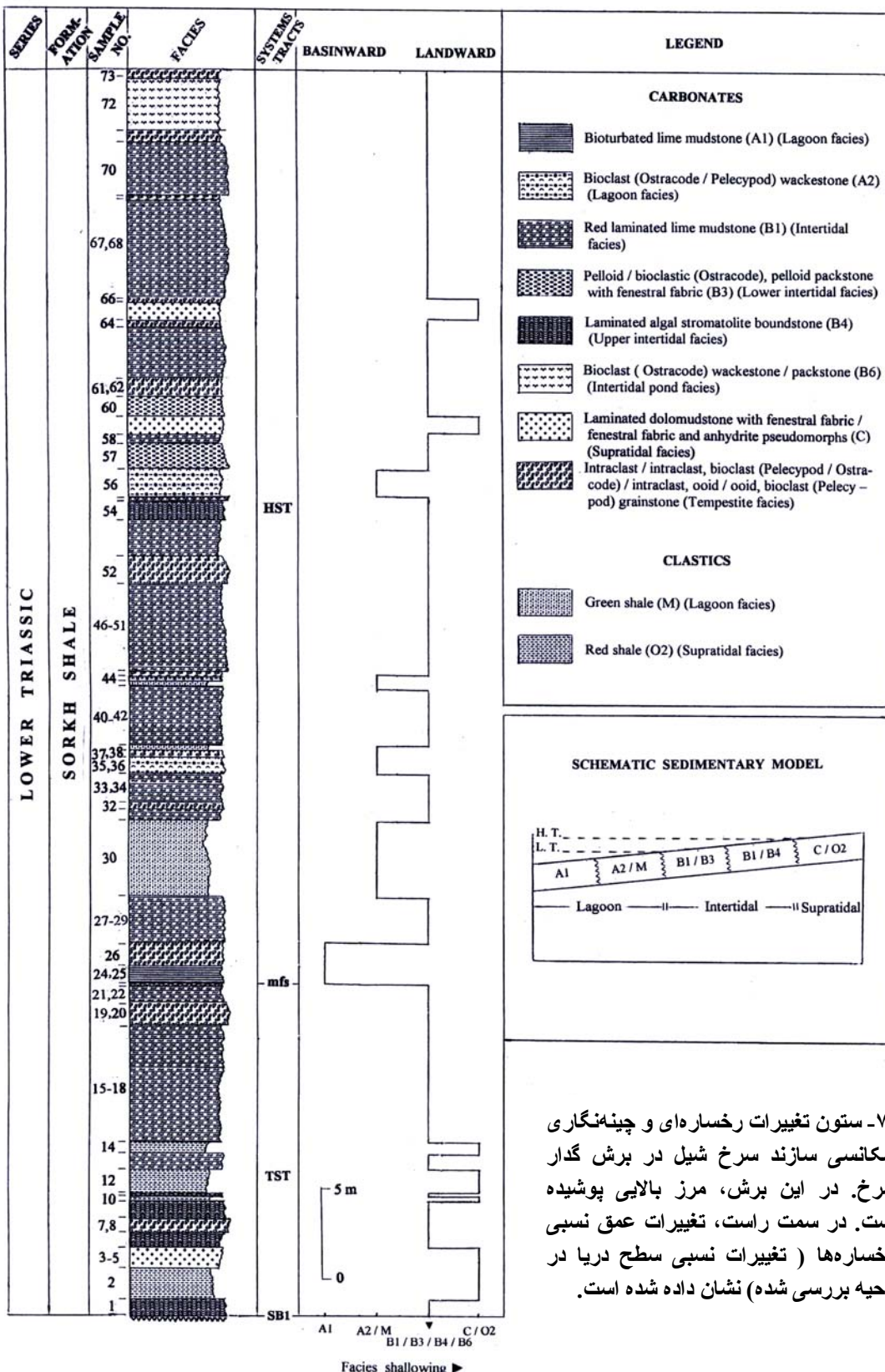
شکل ۶- A- کلکلیتیت مریبوط به رخساره P2(نور پلاریزه). در این تصویر، بلورهای اتومورف دولومیت جانشین خرده سنگ‌های آهکی شده‌اند. زمینه سیمان کلسیتی است(نمونه از برش گچال، نور پلاریزه) B- چینه‌بندی مورب پشت‌های (در محل مقیاس) در رخساره طوفانی آواری( نمونه از برش اسلام‌آباد). C- مدستون آهکی لامینه‌دار از زیررخساره Q1. در این تصویر، کوارتز‌های آواری در ابعاد سیلیت نیز مشاهده می‌شوند(نمونه از برش اسلام‌آباد) D- نمونه دستی از ژیپس لامینه‌دار در زیررخساره Q3. در این تصویر، هر واحد از خطکش مقیاس برابر یک سانتومتر است(نمونه از برش اسلام‌آباد)

اروین [۲۲]، هکل [۲۱]، پورسر [۳۳]، ویلسون [۴۸]، کلاین [۲۴]، شل و همکاران [۳۷]، رید [۳۴]، کاروزی [۱۲]، تاکر و رایت [۴۳]، جیمز [۲۳]، لاسمی [۴]، [۲۵]، ریدینگ [۳۵])، مدل رسوبی سازند سرخشیل در منطقه بررسی شده ترسیم شده است (شکل ۸). بررسی رخسارهای سازند سرخشیل نشان داد که این سازند، در پلاتiform کم‌عمق از نوع رمپ هموکلینال<sup>۱</sup>، مشابه خلیج فارس امروزی، نهشته شده است (برای نمونه، رید [۳۴]، بورچت و رایت [۱۱]). در این رمپ، به هنگام ورود رسوبات سیلیسی آواری رخسارهای کربناته تشکیل نمی‌شده است. تغییرات جانبی رخسارهای (دریایی شدن رخسارهای به سمت شمال)، جهت جریان‌های قدیمی رو به شمال (برای نیل به این هدف از ریپل مارک‌های جریانی موجود در رخساره طوفانی کربناته و لایه‌بندی مورب تابولار در رخساره N استفاده شد) و ضخامت زیاد سازند سرخشیل در بلوک طبس نشان داد که پلاتiform این سازند، همان‌گونه که لاسمی [۴] پیشنهاد کرده است، در یک کافت درون قاره‌ای عقیم<sup>۲</sup> با وابستگی به اقیانوس تتیس قدیمی<sup>۳</sup> و در امتداد گسل‌های کلمرد/کوهبنان و ناییند جای داشته است.

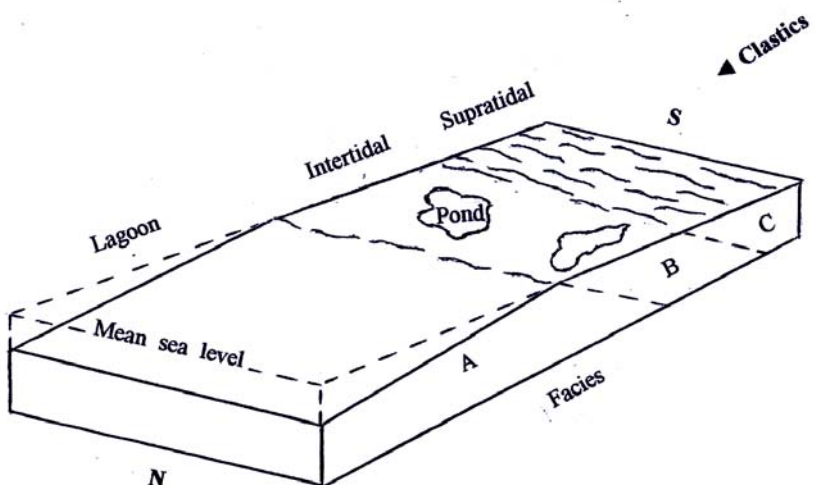
۱-Homoclinal ramp

۲-Failed rift or aulacogen

۳-Paleotethys



شکل ۷- ستون تغییرات رخساره‌ای و چینه‌نگاری سکانسی سازند سرخ شیل در پرش گدار سرخ. در این پرش، مرز بالایی پوشیده است. در سمت راست، تغییرات عمق نسبی رخساره‌ها ( تغییرات نسبی سطح دریا در ناحیه پرسی شده ) نشان داده شده است.



شکل ۸- مدل رسوبی سازند سرخ شیل در منطقه بررسی شده. این مدل بیان‌گر رمپ کربناته- تخریبی است. رخساره‌های سیلیسی آواری نر بخش جنوبی حوضه از گسترش زیادی برخوردارند. به سمت مرکز حوضه از ضخامت آن‌ها کاسته شده و در بخش شمالی حوضه، رخساره‌های کربناته فروتنی می‌یابند

### چینه‌نگاری سکانسی

چینه‌نگاری سکانسی شاخه جدیدی از چینه‌نگاری است که با بررسی و تشخیص رخساره‌ها، محیط‌های رسوبی و تغییرات عمودی آن‌ها نهشته‌های یک حوضه را به سکانس‌هایی تقسیم می‌کند که میان ناپیوستگی‌ها یا پیوستگی هم ارز آن‌ها قرار دارند. به عبارت دیگر، چینه‌نگاری سکانسی تاریخچه رسوبگذاری، فراسایش و تغییرات سطح دریا را در هر حوضه رسوبی مشخص می‌کند (لامسی [۴]). به طور کلی هر سکانس رسوبی از دسته‌های رخساره‌ای گوناگونی تشکیل شده است که نشان‌دهنده پایین بودن سطح دریا، پیش‌روی کند و سکون سطح دریا است (ویل و همکاران [۴۴]، [۴۵]، حق و همکاران [۲۰]، سارگ [۳۶]، ون و گونر و همکاران [۴۶]، [۴۷]، ایمری و ماپرز [۱۶]، میال [۲۸]، [۲۹]، لاسمی [۴]).

بر اساس بررسی‌های میکروسکوپی و شواهد صحرایی برش‌های مورد بررسی، سازند سرخ‌شیل در بر گیرنده یک سکانس رسوبی کامل (چرخه رسوبی دسته سوم) و تعداد زیادی از چرخه‌های کم عمق شونده کوچک مقیاس (پار اسکانس) است.

در برش گدار سرخ، مرز زیرین سکانس با ناپیوستگی نوع ۱ (SB1)<sup>۱</sup> مشخص می‌گردد که افقی از خاک قدیمی است. این افق، هم ارز LST<sup>۲</sup> است (برای نمونه، الیک و رید [۱۵]، لاسمی و امین رسولی [۶]). نخستین لایه پیش‌روnde (زیر رخساره بین جزر و مدی بالایی)، نشان‌دهنده اولین طغیان دریا یا سطح پیش‌روی<sup>۳</sup> است. دسته رخساره‌ای TST<sup>۴</sup>، شامل تناوبی از رخساره‌ها و زیر رخساره‌های پهن جزر و مدی است که به صورت پیش‌روnde به زیر رخساره بخش عمیق‌تر تالاب پشت سد<sup>۵</sup> تبدیل می‌شود. دسته رخساره‌ای HST<sup>۶</sup> در بردارنده

<sup>۱</sup>-Type 1 unconformity

<sup>۲</sup>- Lowstand systems tract

<sup>۳</sup>-Transgressive surface

<sup>۴</sup>-Transgressive systems tract

<sup>۵</sup>-Maximum flooding surface

<sup>۶</sup>-Highstand systems tract

تناوبی از رخسارهای زیر رخسارهای پهنه جزر و مدی و تالاب پشت سد است (شکل ۷). در این برش، مرز بالایی سکانس پوشیده است.

دربرش گدارگچال نیز مرز زیرین سکانس، افقی از خاک قدیمی است که با ناپیوستگی نوع ۱ (SB1) یا معادل آن (LST) مطابقت دارد. دسته رخسارهای پیشروند (TST) با زیر رخساره تالاب پشت سد آغاز می‌شود. این دسته رخسارهای رخسارهای زیر رخسارهای دشت ساحلی، پهنه جزر و مدی و تالاب پشت سد را در بر می‌گیرد و نهایتاً به زیر رخساره عمیق تالاب پشت سد (mfs) ختم می‌گردد. دسته رخسارهای HST نیز از رخسارهای زیر رخسارهای پهنه جزر و مدی تشکیل شده است و در بالا به ناپیوستگی میان سازندهای سرخشیل و شتری (افق لاتریتی) ختم می‌شود.

دربرش اسلام‌آباد، مرز زیرین سکانس پوشیده است و سازند سرخشیل با رخساره تبخیری آغاز می‌گردد. در این برش، رخساره تبخیری بخش زیرین سازند سرخشیل، دسته رخسارهای LST را تشکیل داده است. سطح پیش روی (ts) با رخساره ماسه سنگی پهنه جزر و مدی آغاز می‌شود. دسته رخسارهای TST با رخسارهای زیر رخسارهای پهنه جزر و مدی شروع شده و سپس به زیر رخساره تالاب پشت سد تبدیل می‌شود (mfs). دسته رخسارهای HST که ضخامت زیادتری دارد، به طور عمدۀ از پاراسکانس‌های پس‌رونده پهنه جزر و مدی تشکیل شده است و در نهایت به SB1 ختم می‌شود.

مقایسه منحنی تغییرات عمق نسبی رخسارهای در منطقه بررسی شده با منحنی جهانی تغییرات سطح دریاها (حق و همکاران [۲۰]) نشان داد که سکانس رسوی سازند سرخشیل، هم ارز بخش بالایی سکانس ابساروکای<sup>۱</sup> اسلاس[۴۰] است. این سکانس همچنین با سوپر سیکل ۱-UAA از دسته سوپر سیکل UAA<sup>۲</sup> حق و همکاران [۲۰] مطابقت دارد.

## نتیجه‌گیری

بررسی دقیق مقاطع نازک میکروسکوپی و مشاهدات صحرایی نشان داد که سازند سرخشیل از سه رخساره کربناته، چهار رخساره سیلیسی آواری، دو رخساره طوفانی (کربناته و آواری) و یک رخساره تبخیری تشکیل شده است. رخسارهای کربناته در محیط‌های تالاب پشت سد و پهنه جزر و مدی، رخسارهای سیلیسی آواری در محیط‌های تالاب پشت سد، پهنه جزر و مدی، دشت ساحلی و رخساره تبخیری در سبخای قاره‌ای (پلایا) نهشته شده‌اند. رخسارهای سازند سرخشیل، در پلانترم نوع رمپ مختلف کربناته سیلیسی آواری تشکیل شده‌اند. در سازند سرخشیل، یک سکانس رسوی کامل (چرخه دسته سوم) و تعداد زیادی چرخه‌های کم عمق شونده کوچک مقیاس تشخیص داده شد. روند جریان‌های قدیمی رو به شمال، دریایی شدن رخسارهای رو به سمت شمال و ضخامت

<sup>۱</sup>-Absaroka

<sup>۲</sup>-Upper Absaroka A

زیاد سازند سرخشیل در بلوک طیس نشان داد که پلاتفرم یاد شده، در حوضه کافت درون قاره‌ای عقیم با وابستگی به اقیانوس تیس قدیمی و در امتداد گسل‌های کلمرد/کوهبنان و ناییند قرار داشته است.

## تشکر و قدردانی

از آقای هادی امین‌رسولی دانشجوی دوره دکتری زمین‌شناسی که ترسیم مقدماتی ستون‌های چینه‌نگاری و تغییرات رخسارهای را انجام دادند صمیمانه سپاس‌گزاری می‌کنم.

## منابع

- ۱- شهرابی، م.، تریاس در ایران، سازمان زمین‌شناسی و اکتشافات معدنی کشور، (۱۳۷۸) ۲۷۹.
- ۲- طهماسبی، ع.ر.، لاسمی، ی. و لطف پور، م.، بررسی نهشته‌های طوفانی بخش زیرین سازند الیکا، فشرده مقالات سومین همایش انجمن زمین‌شناسی ایران، (۱۳۷۸) ۴۰۲-۳۹۹.
- ۳- لاسمی، ی.، محیط‌های رسوی سنگ‌های اردوویسین ایران (توالی‌های همزمان با ریفت) و تشکیل حاشیه واگرای پالیوتیس، خلاصه مقالات هفدهمین گردهمایی علوم زمین، سازمان زمین‌شناسی و اکتشافات معدنی کشور (۱۳۷۷)، ۱۶۰-۱۵۸.
- ۴- لاسمی، ی.، رخسارهای، محیط‌های رسوی و چینه‌نگاری سکانسی نهشته سنگ‌های پرکامبرین بالایی و پالئوزوئیک ایران، سازمان زمین‌شناسی و اکتشافات معدنی کشور (۱۳۷۹)، ۱۸۰.
- ۵- لاسمی، ی. و امین‌رسولی، م.، بررسی نهشته‌های طوفانی واحد زیرین بخش ۲ سازند میلا در البرز شرقی، مجله علوم دانشگاه تهران (۱۳۸۱)، ۲۸، ۱، ۵۲-۳۳.
- ۶- لاسمی، ی. و امین‌رسولی، م.، چینه‌نگاری سکانسی واحدهای شیلی و کوارتریت بالایی سازند لالون در ناحیه تویه- دروار (جنوب باختری دامغان)، فصلنامه علمی- پژوهشی علوم زمین، سازمان زمین‌شناسی و اکتشافات معدنی کشور، (۱۳۸۲) ۶۷-۴۸، ۱۱.
- ۷- لاسمی، ی. و جهانی، د.، نهشته‌های طوفانی بخش زیرین سازند الیکا (تریاس زیرین)، مجله علمی پژوهشی علوم پایه دانشگاه آزاد اسلامی (۱۳۸۰)، ۱۱، ۳۰۰۵، ۳۰۰۴-۴.
8. S.A. Aghanabati, Description of the Triassic type lithostratigraphic units of the Islamic Republic of Iran, Triassic Biostratigraphy and Paleogeography and Mineral Resources Development Series, United Nation(1990) 16- 35.
9. T. Aigner, Storm Depositional Systems, Springer-Verlag, Berlin (1985) 174.
10. P. Bronnimann, L. Zaninetti, A. Moshtaghian and H. Huber, Foraminifera from the Sorkh Shale Formation of the Tabas area, east-central Iran, Riv. Ital. Paleo., 79, 1(1973) 1-32.

11. T.P. Burchette and V.P. Wright, Carbonate ramp depositional systems, *Sed. Geol.*, 79 (1992) 3-57.
12. A.V. Carozzi, *Carbonate Rocks Depositional Models*, Prentice Hall, New Jersey(1989) 604.
13. R.H., Jr. Dott and J. Bourgeois, Hummocky stratification, significance of its variable bedding sequence, *Geol. Soc. of Am. Bull.*, 93 (1982) 663-680.
14. R.J. Dunham, Classification of carbonate rocks according to depositional texture, in: W.E. Ham (ed.), *Classification of Carbonate Rocks*, Am. Assoc. of Petrol. Geol., Mem. 1(1962) 108-121.
15. M. Elrick and J.F. Read, Cyclic ramp to basin carbonate deposits, Lower Mississippian, Wyoming and Montana, a combined field and computer modeling study, *Jour. of Sed. Petrol.*, 61(1991) 1194-1224.
16. D. Emery and K. Myers, *Sequence Stratigraphy*, Blackwell, Oxford(1996) 297.
17. E. Flugel, *Microfacies Analysis of Limestone*, Springer-Verlag, Berlin (1982) 610.
18. A. Gansser, New aspects of geology in Central Iran, *Proc. 4th World Petrol. Congr. Rome, Sect. I/A/5* (1955) 279-300.
19. M. Glaus, Trias und Oberperm in Zentralen Elburs (Persien), *Eclogae. Geol. Helv.*, 57 (1964) 497-508.
20. B.U. Haq, J. Hardenbol and P.R. Vail, Mesozoic and Cenozoic chronostratigraphy and cycles of sea-level changes, in: C.K. Wilgus, B.S. Hastings, C.G.St.C. Kendal, H.W. Posamentier, C.A. Ross and J.C. Van Wagoner (eds.), *Sea-Level Changes, an Integrated Approach*, Soc. of Econ. Paleont. and Mine., Spec. Publ., 42(1988) 71-108.
21. P.H. Heckel, Recognition of ancient shallow marine environments, in: J.K. Rigby and W.K. Hamblin (eds.), *Recognition of Ancient Sedimentary Environments*, Soc. of Econ. Paleont. and Mine. Spec. Publ., 16 (1972) 226-286.
22. M.L. Irwin, General theory of epeiric clear water sedimentation, *Am. Assoc. of Petrol. Geol. Bull.*, 49 (1965) 445-459.
23. N.P. James, Introduction to carbonate facies models, in: R.G. Walker (ed.), *Facies Models*, Geoscience Canada Reprint Series 1 (1992) 105-107.

24. G.V. Klein, Clastic Tidal Facies, Continuing Education Publication Company Champaign, Illinois (1977) 149.
25. Y. Lasemi, Platform carbonates of the Upper Jurassic Mozduran Formation in the Kopet-Dagh Basin, NE Iran, Facies, paleoenvironments and sequences, Sed. Geol., 99, (1995) 151-164.
26. Y. Lasemi and A.V. Carozzi, Carbonate microfacies and depositional environments of the Kinkaid Formation (Upper Mississippian) of the Illinois Basin, Ph.D Thesis, University of Illinois, U.S.A. (1981).
27. J.A. McKenzie, K.J. Hsh and J.F. Schneider, Movement of subsurface waters under the sabkha, Abu Dhabi, UAE, and its relation to evaporative dolomite genesis, in: D.H. Zenger, J.B. Dunham and R.L. Ethington (eds.), Concepts and Models of Dolomitization, Soc. of Econ. Paleont. and Mine., Spec. Publ., 28(1980) 11-20.
28. A.D. Miall, The Geology of Stratigraphic Sequences, Springer-Verlag, Berlin (1997) 433.
29. A.D. Miall, Principles of Sedimentary Basin Analysis, Springer-Verlag, Berlin (2000) 616.
30. G.V. Middleton, Johannes Walther's Law of correlation of facies, Geol. Soc. of Am. Bull., 84(1973) 979-988.
31. R.J. Patterson and D.J.J. Kinsman, Formation of diagenetic dolomite in coastal sabkhas along the Arabian (Persian) Gulf, Am. Assoc. of Petrol. Geol. Bull., 147, (1982) 28-43.
32. F.J. Pettijohn, P.E. Potter and R. Siever, Sand and Sandstone, Springer-Verlag, New York (1987) 553.
33. B.H. Purser, The Persian Gulf, Springer-Verlag, Berlin, (1973) 471.
34. J.F. Read, Carbonate platform facies models, Am. Assoc. of Petrol. Geol. Bull. 66, (1985) 860-879.
35. H.G. Reading, Sedimentary Environments, Processes, Facies and Stratigraphy, Blackwells, Oxford (1996) 688.
36. J.F. Sarg, Carbonate sequence stratigraphy, in: C.K. Wilgus, B.S. Hastings, C.G. St.C. Kendal, H.W. Posamentier, C.A. Ross and J.C. Van Wagoner (eds.), Sea-Level Changes, an Integrated Approach, Soc. of Econ. Paleont. and Mine. Spec. Publ., 42(1988) 155-181.

37. P.A. Scholle, D.G. Beboot and C.H. Moore, Carbonate Depositional Environments, Am. Assoc. of Petrol. Geol., Mem. 33 (1983) 708.
38. K. Seyed-Emami, Triassic in Iran, Facies, 48, (2003) 91-106.
39. E.A. Shinn, 1983a, Birdseyes, fenestrae, shirinkage pores and loferites, a re-evaluation, Jour. of Sed. Petrol., 53, 2 (1983a) 619-629.
40. L.L. Sloss, 1963, Sequences in the cratonic interior of North America, Geol. Soc. of Am. Bull., 74(1963) 93-114.
41. J. Stocklin, J. Eftekhar-Nezhad and A. Hushmand-Zadeh, Geology of the Shotori Range, Tabas area, East Iran, Geol. Surv. of Iran, Rep. 3(1965) 69.
42. M.E. Tucker, Carbonate diagenesis and sequence stratigraphy, in: V.P. Wright (ed.), Sedimentology Review, Blackwells, Oxford(1993) 51-72.
43. M.E. Tucker and V.P. Wright, Carbonate Sedimentology, Blackwells, Oxford, (1990) 482.
44. P.R. Vail, R.M., Jr. Mitchum, R.G. Todd, J.M. Widmier, S., III Thompson, J.B. Sangree, J.N. Bubb and W.G. Hatleid, Seismic stratigraphy and global changes in sea level, in: C.E. Payton (ed.), Seismic Stratigraphy, Applications to Hydrocarbon Exploration, Am. Assoc. of Petrol. Geol. Mem., 26 (1977a) 49-62.
45. P.R. Vail, F. Audemart, S.A. Bowman, P.N. Eisner and G. Perez-Crus, The stratigraphic signatures of tectonics, eustasy and sedimentology, an overview, in: G. Einsele, W. Ricken and A. Seilacher (eds.), Cyclic Stratigraphy, Springer-Verlag, New York (1991) 617-659.
46. J.C. Van Wagoner, H.W. Posamentier, R.M. Mitchum, P.R. Vail, J.F. Sarg, T.S. Loutit and J. Hardenbol, An overview of the fundamentals of sequence stratigraphy and key definitions, in: C.K. Wilgus, B.S. Hastings, C.G.St.C. Kendal, H.W. Posamentier, C.A. Ross and J.C. Van Wagoner (eds.), Sea-Level Changes, An Integrated Approach, Soc. of Econ. Paleont. Mine. Spec. Publ., 42 (1988) 39-45.
47. J.C. Van Wagoner, R.M., Jr. Mitchum, K.M. Campion and V.D. Rahmanian, Siliciclastic Sequence Stratigraphy in Well Logs, Cores and Outcrops, Concepts for High Resolution Correlation of Time and Facies, Am. Assoc. of Petrol. Geol., Methods in Exploration Series, Tulsa, 7 (1990) 55.
48. J.L. Wilson, Carbonate Facies in Geologic History, Springer-Verlag, Berlin (1975) 471.